嘉南藥理科技大學專題研究計畫成果報告

大氣衍生性氣膠之貢獻特性研究

計畫類別:■個別型計畫 □整合型計畫

計畫編號: CNEV92-25

執行期間:92年1月1日至92年12月31日

計畫主持人: 蔡瀛逸

計畫參與人員:林易玄、翁子翔

執行單位:嘉南藥理科技大學環境工程科學系

中華民國 九十三 年 二 月 二十一 日

大氣衍生性氣膠之貢獻特性研究

計畫編號: CNEV92-25

執行期限: 92年01月01日至92年12月31日

主持人:蔡瀛逸 嘉南藥理科技大學環境工程科學系副教授

本研究探討 2002 年秋冬高污染季節高雄縣境內林園、美濃、仁武、和大寮地區之 PM_{10} 及 $PM_{2.5}$ 之水溶性懸浮微粒時空變異,其結果發現,在發生高污染事件日時,林園、美濃、仁武和大寮地區之 PM_{10} 微粒濃度均有明顯增加現象,分別為 $PM_{2.5}$ 中硫酸鹽、硝酸鹽、銨鹽及有機碳等二次光化物質有明顯增加現象。以地殼元素、海鹽、元素碳、農廢燻煙及溴化鉛等作為原生性懸浮微粒之物種濃度判斷,各地區之地殼元素及燃燒程序污染排放是原生物種對微粒質量濃度最的主要貢獻者,且在 $PM_{2.5-10}$ 的粗微粒原生性物種所佔質量濃度比例較 $PM_{2.5}$ 為高,其中海鹽在林園地區之 $PM_{2.5-10}$ 較其他地點高,顯示靠海的林園其海鹽在 $PM_{2.5-10}$ 的貢獻較顯著。縣境四地點之衍生性 $PM_{2.5-10}$ 較其他地點高,顯示靠海的林園其海鹽在 $PM_{2.5-10}$ 的貢獻較顯著。縣境四地點之衍生性 $PM_{2.5-10}$ 的貢獻較顯著。縣境四地點之衍生性 $PM_{2.5-10}$ 於其中衍生性 $PM_{2.5-10}$ 的貢獻較顯著。縣境四地點之衍生性 $PM_{2.5-10}$ 的貢獻較顯著。縣境四地點之衍生性 $PM_{2.5-10}$ 的貢獻較顯著。縣境四地點之衍生性 $PM_{2.5-10}$ 的貢獻較顯著。為低。此例亦同,以美濃地區最高,雖然美濃地區當地無重大污染源,但其衍生硫酸銨高濃度,顯示硫酸鹽的境外移入貢獻極大,而當地因交通污染排放較少,產生之衍生硝酸鹽亦較其他地點為低。此外,四地區之粗粒衍生氣膠佔質量濃度的 $PM_{2.5-10}$ 的環歌主要分布在細粒中。

關鍵詞:高污染季節;氣膠酸鹼值;原生性懸浮微粒;衍生性懸浮微粒

一、前言

大氣懸浮微粒之化學組成主要以硫酸鹽、硝 酸鹽、銨鹽、元素碳及有機碳為主。在部分地區, 懸浮微粒高污染事件日下,在PM10中硝酸鹽所佔 的質量比例約為平日硝酸鹽質量比例的 2~3 倍, 顯示當懸浮微粒高污染時,硝酸鹽微粒為主要之 貢獻物種[1]。蔡等(2001)[2]在高屏地區高污染狀 態的研究發現,PM10微粒中水溶性離子之濃度約 佔 PM₁₀ 濃度 45.4~56.2%, 且均以 SO₄²、NO₃、 NH4⁺及 Cl⁻為主要物種。在污染事件日時各測站 PM₁₀ 上 NO₃ 之平均濃度較非污染事件日 (PM₁₀<150 ug/m³)時高出最多,且水溶性離子中只 有NO3在污染事件日所佔之比例較非污染事件日 時高,其餘離子則無此現象。顯示在污染事件日 時,導致各測站 PM₁₀ 濃度之增加,最主要可是因 PM₁₀上 NO³ 濃度大幅增加造成;各測站 PM₁₀之 濃度近 50%由 SO₄²、NO₃-及 NH₄+等衍生性氣膠 所貢獻。陳與吳(1999)[3]在高雄縣的大氣微粒研 究發現,全年懸浮微粒的成份以硫酸鹽最高,其 次為 TC、NO3 及 NH4+, 至於原生性污染物僅佔 5~7%。在 10 月至 2 月的高污染事件日較易發生 的季節,氣膠仍以 SO₄2-濃度最高,其次為 NO₃-及 NH₄⁺,再者為 OC 及 EC,原生性污染物在 5% 以下,而衍生性氣膠成份約佔40~50%。

Lin (2002)[4]探討高雄市大氣中的化學物質特性與濃度的變化,在水溶性離子的成分, SO_4^2 、 NO_3 和 NH_4 +估 $PM_{2.5}$ 質量濃度的 42.2%,且三物種佔總水溶性離子的 90%。總碳包括有機碳與無機碳約貢獻 20.8% $PM_{2.5}$ 質量濃度。在 $PM_{2.5}$ 的硫轉化速率(SOR)與氮轉化速率(NOR)發現其比例分別為 0.25 和 0.07,顯示 SO_2 轉換到 SO_4^2 -與 NO_2 轉換到 NO_3 -的大氣中轉換比率以硫物種的轉化較快,而 NH_4 +與 SO_4^2 -、 NO_3 -比值在 0.86,顯示高雄地區 NH_4 +的結合形態大部分是(NH_4) $_2SO_4$ 及 NH_4NO_3 。

二、研究方法

1. 大氣微粒之採樣及前處理

在空氣品質不良季節(10月至隔年3月),針對 大氣懸浮微粒之採樣,在高雄縣境美濃、仁武、 大寮、林園等 4 個測站,利用雙粒徑分道採樣器 (Dichotomous samplers, Dichot)、個人採樣器 (Personal environmental monitors, PEM)及哈佛採 樣器(Harvard samplers)進行同步採集。採樣時段以 日(上午7時~下午6時),夜(下午6時~上午7時), 代表日、夜之 PM_{2.5-10} 粗微粒及 PM_{2.5} 細微粒樣 品,以瞭解縣內懸浮微粒之組成特性, Dichot 之 粗粒採樣流量為 1.67 lpm,細粒採樣流為 15.0 Lpm, PEM 及 Harvard samplers 採樣流量均控制在 10.0 Lpm。此外,以微孔均匀沈降衝擊器(Micro-Orifice Uniform Deposition Impactor, MOUDITM, Model 110),採集全天 24 小時之懸浮微粒,以瞭 解微粒粒徑之質量濃度分布特性。操作流量為30 1/min,入口粒徑為 18 μm,收集階層分十階,截 取粒徑分別為 9.9、5.6、2.5、1.8、1.0、0.56、0.325、 0.174、0.1、0.056 μm, 最後以 37 mm 之 after filter 收集剩餘之微粒。

本研究採樣點的選擇以環保署空氣品質監測站之位置為第一考量,但因門禁或方便考量,則選擇距環保署空氣品質監測站相近地點進行採樣,以下為各採樣點位置:橋頭測站(橋頭國中); 美濃測站(美濃國中);仁武測站(八卦國小);大寮測站(潮寮國中);林園測站(汕尾國小)

2 大氣微粒水溶性離子成份

微粒中之水溶性離子成份分析,首先將濾紙 置入廣口 LDPE 瓶中,滴入 10 ml 的去離子水,封 緊瓶口,置入超音波震盪器(Branson 5210型)內震 盪 90 分鐘,進行水溶性離子的萃取。萃取過濾後 之萃取液置入有蓋的試管,將試管緊閉後,放入4 °C 冰箱內存放,避免水溶性離子揮發損失。過濾 液以離子層析儀(Ion chromatography, Dionex Model DX-120 Isocratic system)分析之,並以電導 度偵測器(Conductivity detector)做定量測定。使用 之陰離子分離管為 Dionex AS9-HC 型, 陽離子分 離管為 Dionex CS12 型,分析的物種包括 F、CI、 $NO_3^- \cdot SO_4^{2-} \cdot Na^+ \cdot NH_4^+ \cdot K^+ \cdot Mg^{2+} \cdot Ca^{2+}$ \$\,\text{8} 種離子。而所使用之水溶性離子物種標準液,為 Merck 公司所製備的各離子標準溶液,其濃度皆 為 1000 ppm。求取各離子濃度之檢量線之相關係 數大於 0.995。整個離子濃度量測,由添加標準品 回收率試驗(spike)證實少有基質干擾且具有良好 之回收率,各離子回收率在97%至104%之間, 可滿足本研究之需求。

3 大氣微粒碳含量分析

懸浮微粒中的碳含量分析利用 W.C. Heraeus elemental analyzer CHN-O-Rapid 元素分析儀進行,可用來測定微粒中碳含量。分析條件之設定為:加熱時間 1.5 分鐘,氧化管溫度 950 °C,還原管溫度 600 °C,並使用 TCD 偵測器偵測由氦氣(He)所攜帶之含碳微粒經熱處理後產生的 CO_2 含量,轉換輸出訊號值至積分儀得佔樣品重量百分率。

以 1/4 張濾紙進行含碳量分析,再切割成兩份 1/8 張濾紙,分別量測總碳含量及元素碳量。其中 在採樣秤重後之 1/8 張的石英濾紙直接由元素分 析儀進行分析,此時所得之測值即為總碳含量; 同樣地,空白濾紙經相同步驟,所得之測值即為 碳空白量。碳成分之儀器偵測極限(IDL)為 0.09 $\mu g/m^3$,而方法偵測極限(MDL)為 0.46 $\mu g/m^3$,均 甚低於實際樣品之含碳濃度。在碳成份分析的品 管,以每一批次的重覆性分析,來判斷分析結果 的再現性,且以 Acetanilide (N=10.36%, C=71.09 %, H=6.71%, O=11.80%)作為校正曲線的標準藥 品及標準參考樣品進行其碳量之量測,以確定分 析之準確度。各類含碳量的分析,包括(1)總碳(total carbon, TC)的決定:將濾紙經樣品調理恆濕箱 24 小時乾燥稱重,未經高溫爐前處理,逕以元素分 析儀分析,即為總碳。空白濾紙經同樣步驟,即 為碳空白量;前者與後者差值即為該樣品所含之 總碳量。(2)元素碳(elemental carbon, EC):將濾紙 先置於 340°C 的高溫爐內,導入空氣,加熱 10 分 鐘[5],以去除有機碳。利用元素分析儀分析經此 前處理過的樣品濾紙,即為濾紙之元素碳。將空 白濾紙,經同樣的步驟,所得即為碳空白量。前 者與後者之差值即為實際樣品之元素碳量。(3)有 機碳(organic carbon, OC):有機碳之量即為樣品所 含之總碳量與元素碳之差值。

三、結果與討論

1. 秋冬雨季風向分布

本研究探討 2002 年 10 月~2003 年 3 月在空氣品質不良季節之懸浮微粒化學特性,根據環保署設於採樣當地的空品監測站所提供的氣象資料,仁武地區位於四個採樣點的北邊,該地區的盛行風向以北風所佔比列最高,約佔 60%,其次是西北風向。而美濃地區較靠近山區,所在位置的盛行風向以西南-西-西北之風向所佔比列最高。林園測站臨海,此點的盛行風大多來自西方,由風向來看由海面吹向陸地。大寮地區是位在林園地區的東方,此地區的盛行風以西北-北風比列最多。

2. PM₁₀ 之質量濃度分布

高雄縣四個採樣地區高污染季節的懸浮微粒

濃度,在四個地區中,秋季之 $PM_{2.5}$ 質量濃度以仁武地區的 $91.5\pm41.6~\mu g~m^{-3}$ 最高,其濃度變異最大。其次是林園地區的 $84.5\pm36.3~\mu g~m^{-3}$,美濃地區為 $73.4\pm19.4~\mu g~m^{-3}$ 及大寮地區的 $66.4\pm20.0~\mu g~m^{-3}$ 。在 $PM_{2.5-10}~$ 粗微粒濃度,以林園地區的 $51.8\pm16.5~\mu g~m^{-3}$ 最高,依序是仁武、大寮及美濃地區,其濃度分別為 $48.4\pm22.4~\mu g~m^{-3}$ 、 $42.9\pm26.4~\mu g~m^{-3}$ 、 $38.9\pm8.4~\mu g~m^{-3}$ 。 由四個地點的微粒粒徑濃度可知,均以細微粒佔大多數,而美濃地區之 $PM_{2.5}$ 濃度卻比屬工業區的大寮來得高,此原因可能因與較靠近山區,氣象條件較封閉,污染不易牆散有關。

在冬季方面, $PM_{2.5}$ 細微粒以大寮與林園地區質量濃度最高,分別是 72.0 ± 21.3 µg m^3 、 71.4 ± 19.3 µg m^3 ,而仁武地區在冬季則比秋季濃度低,為 64.1 ± 18.0 µg m^{-3} ,美濃地區為 52.2 ± 13.9 µg m^{-3} ,是冬季四採樣地點 $PM_{2.5}$ 質量濃度最低的。 $PM_{2.5-10}$ 質量濃度在大寮、仁武、林園三地區差異及變異不大,而在美濃地區 $PM_{2.5-10}$ 部分最低。

在大寮、仁武、林園地區懸浮微粒粒徑呈現雙峰分佈,大寮地區之微粒粒徑分布在 $0.32~\mu m$ 及 $5.6~\mu m$ 粒徑位置,呈現雙峰分布。林園地區之雙峰分布,出現在 $0.56~\mu m$ 及 $2.5~\mu m$ 粒徑位置。仁武地區之雙峰分布,分別在 $0.56~\mu m$ 及 $3.2~\mu m$ 處,尤其在 $0.56~\mu m$ 的細粒徑是主要濃度波峰。美濃地區的微粒質量濃度分布平緩,在 $0.56~\mu m$ 處略呈分布波峰。

微粒粒徑的變異,大寮地區有兩個粒徑區間變異較大,分別 $0.18-1.0~\mu m$ 與 $1.8-10.0~\mu m$ 兩範圍。仁武地區則在 $0.32-1.0~\mu m$ 有明顯的變異量,尤其是在 $0.56~\mu m$ 粒徑。林園地區在 $0.32-1.0~\mu m$ 有明顯的變化,尤其在 $0.56~\mu m$ 粒徑變化相當大。美濃地區的變異不若其他三地區來的明顯,但可看出在 $0.18-0.56~\mu m$ 有較明顯的變化。

根據以上各地區的粒徑分佈與變異的討論,並量測 2002 年 11 月 27、28 日不良空氣品質事件日之微粒發現,依環保署發佈原因是中南部地區稻田露天燃燒稻草所導致之空氣品質惡化,四測點量測之粒徑分布均呈現集中在 0.32-1.0 µm 的粒徑範圍,且濃度較 Fig.1 所呈現之該範圍粒徑之平均濃度高出 1.5~2.3 倍,顯示露天燃燒所產生的懸浮微粒多集中於此粒徑範圍,且產生的微粒多為二次氣膠。

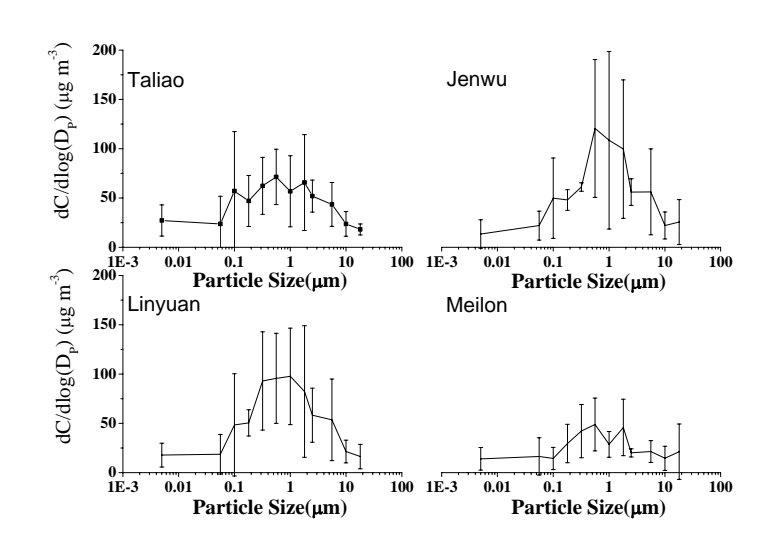


Fig. 1. The mass distribution of airborne particles at four areas in Kaohsiung County during September 2002 and March 2003.

不同空氣品質狀態時之微粒水溶性離子與含碳組成

本研究依環保署自動監測之 PM₁₀ 24 小時平 均值劃分為三個空氣品質狀態,其質量濃度範圍 分别是大於 $125 \mu g m^{-3}$ 的高污染事件日 (PM_{10}) episodes)、介於 125 至 50 μg m⁻³ 的一般空氣品質 狀態(moderate days)以及低於 50 μg m⁻³的良好空 氣品質狀態(clear days)。其水溶性離子與含碳組成 結果如 Fig. 2 所示。在 PM_{2.5} 部分,圖中為高雄縣 四個採樣點所得的平均結果,在不同空氣品質狀 態時之微粒水溶性離子均以 NH4+、NO3-、SO42-、 EC 及 OC 佔大多數,其他水溶性離子的比列影響 不大。在一般空氣品質狀態下其主要的水溶性離 子 NH₄⁺、NO₃⁻、SO₄²、EC 及 OC 質量濃度分別 在 5~10 μg m⁻³ 範圍,但在高污染事件是發生時, 其主要的離子與含碳成分有 0.5~1.0 倍的增加,其 中以 SO₄²-濃度最高,約在 17 μg m⁻³,其次為 NO₃⁻ 和 OC 兩成份,結果顯示高污染事件發生期間, 微粒組成主要由二次氣膠貢獻。在其他細微粒部 分,因為在2002年11月27、28日兩天有露天燃 燒稻草的事件發生,所以在 K⁺離子的濃度貢獻上 也比一般事件日來的高。

在 $PM_{2.5-10}$ 部分,主要的成分也以 NH_4^+ 、 NO_3^- 、 $SO_4^{2^-}$ 、EC 及 OC 為多數,但就濃度而言,其含量不若細微粒高,此外,在高污染事件日以 $PM_{2.5-10}$ OC 的濃度最高,其次是 $SO_4^{2^-}$ 、 NO_3^- 。

含碳部分,在一般空氣品質狀態下,在 PM_{2.5-10} 之平均 OC/EC 比值為 1.1,高污染事件日時,OC/EC 比值平均提高至 1.4,此外,在良好空氣品質狀態下,大氣 PM_{2.5}之 OC 及 EC 分別為 7.3±1.1

μg m⁻³、5.2±0.9 μg m⁻³,平均 OC/EC 比值為 1.4,但在高污染事件日發生時, $PM_{2.5}$ OC 及 EC 濃度分別增加至 17.9±4.8 μg m⁻³、17.1±6.6 μg m⁻³、17.3±5.1 μg m⁻³ 與 11.9±3.4 μg m⁻³,平均 OC/EC 比值為 1.5,顯示高雄縣在高污染事件日發生時,碳污染主要來自光化反應衍生的有機碳(Chow et al., 1996;Harrison et al., 1997),與二次氣膠離子共同大量貢獻物種濃度於氣膠微粒中。

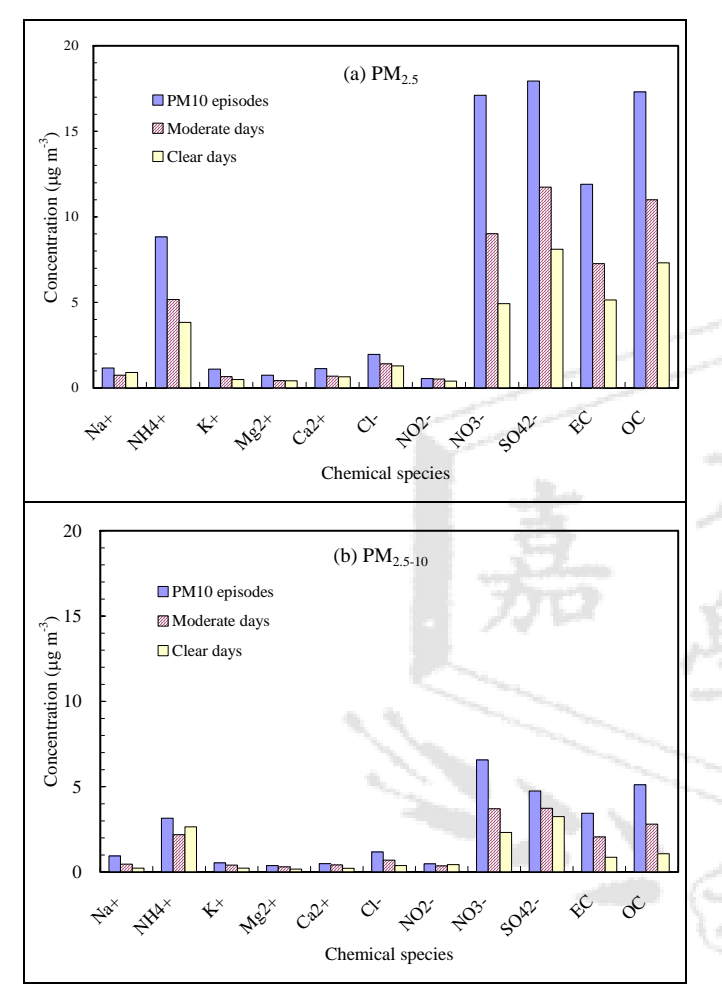


Fig. 2 Concentrations of soluble ions and carbon in particles during three different air qualities in Kaohsiung County during September 2002 and March 2003.(a) PM_{2.5-10}; (b) PM_{2.5}.

3. 不同空氣品質狀態時之氣膠微粒酸鹼性

日夜大氣氣膠之酸鹼性,以氣膠所含化學成分 SO_4^{2-} 、 NO_3^- 、 NH_4^+ 的當量濃度,計算之 NR 值判斷(Tsai and Cheng., 1999)。高雄地區高污染事件日及一般空氣品質狀態之 $PM_{2.5-10}$ 和 $PM_{2.5}$ 氣膠微粒 NR 值如 Figs. 3-4 所示,在 $PM_{2.5-10}$ 部份在日間和夜間的平均 NR 值分別為 0.7 ± 0.3 、 0.8 ± 0.3 ,細微粒 $PM_{2.5}$ 部份日夜間 NR 值分別為 0.7 ± 0.2 、 0.8 ± 0.3 ,顯示出現高污染事件日時其氣膠微呈現 偏酸性。

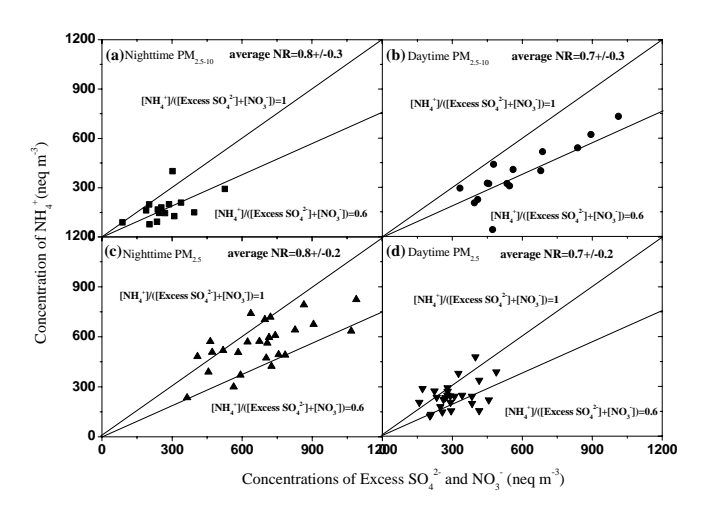


Fig. 3. Concentration equivalent ratio of NH₄⁺ to sum of excess SO₄²⁻ and NO₃⁻ for PM₁₀ episodes in Kaohsiung County. (a) night PM_{2.5-10}; (b) day PM_{2.5-10}; (c) night PM_{2.5}; (d) day PM_{2.5}.

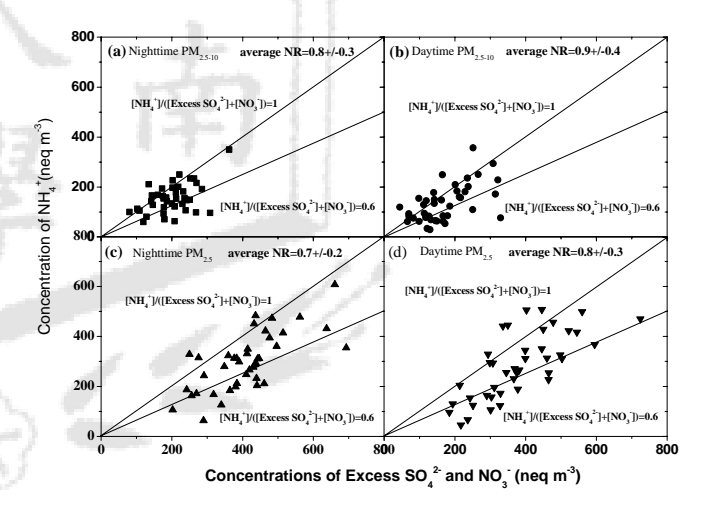


Fig. 4. Concentration equivalent ratio of NH_4^+ to sum of excess SO_4^{2-} and NO_3^- for moderate days in Kaohsiung County. (a) night $PM_{2.5-10}$; (b) day $PM_{2.5-10}$; (c) night $PM_{2.5}$; (d) day $PM_{2.5}$.

在一般空氣品質狀態下,其日夜間的氣膠微粒, $PM_{2.5-10}$ 日夜間 NR 值分別是 $0.9\pm0.4 \times 0.8\pm0.3$, $PM_{2.5}$ 日夜的 NR 值各為 $0.8\pm0.3 \times 0.7\pm0.2$,氣膠亦是偏酸性。

由以上高污染事件日與一般空氣品質狀態下 微粒結果得知,在高雄縣境,氣膠的特性都是呈 現酸性,但在高污染事件日出現時會造成氣膠更 偏於酸性,因為事件日發生時 SO_4^2 -與 NO_3 -都有顯 著的增加,導致氣膠呈現更強的酸性。

4. 原生性及衍生性污染物對微粒污染貢獻

微粒成分在原生性懸浮微粒方面,利用地殼物質、海鹽、元素碳、農廢燻煙及溴化鉛對微粒污染貢獻探討。水溶性鹽類及有機碳之衍生性濃度利用 Chen et al. (1997)[6]微粒組成重建的方式及受體模式推估,進行硫酸銨、硝酸鹽、有機物等成分之濃度貢獻探討。

各地點之地殼元素(crustal matter)及燃燒程序 污染排放(vehicular exhaust)是原生物種對微粒質 量濃度最的主要貢獻者,且在 PM_{2.5-10} 的粗微粒原 生性物種所佔質量濃度比例較 PM_{2.5} 為高。Table 1 為地殼元素、海鹽、元素碳、農廢燻煙及溴化鉛 等在各地點秋冬高污染季節原生性懸浮微粒之物 種濃度。各地點的 PM_{2.5} 燃燒程序污染排放的元素 碳量較地殼元素為高,但PM_{2.5-10}各地點在燃燒程 序污染排放的元素碳量與地殼元素略有差異,但 地殼元素佔其質量濃度比例,已較細微粒之比例 大幅提高,顯示地殼元素在 PM_{2.5-10} 的貢獻量不可 忽略。此外,亦顯示原生性物種對質量濃度貢獻 在粗細微粒的差異及物種比例的變化。其它如海 鹽、農廢燻煙及代表使用有鉛汽油燃燒排放的溴 化鉛等原生污染物在微粒質量濃度貢獻較少,但 從美濃的溴化鉛含量亦可看出,兩地之交通污染 排放,不若仁武、大寮、林園等三個工業地區之 繁忙車輛交通污染排放。各地區亦有少數農廢燻 煙排放,但污染貢獻量不高。海鹽對微粒質量的 Table 1. Species contribution of primary particles in PM_{2.5} and

	Taliao		Jenwu		Linyuan		Meilon	
(µg m ⁻³)	PM _{2.5}	PM _{2.5-10}						
PM mass	72.0	45.7	64.1	42.3	71.4	43.2	52.2	34.1
Crustal matter	5.3	7.0	6.2	6.6	3.6	6.8	4.5	6.7
Sea Salt	1.8	3.2	2.5	4.5	2.4	3.4	1.6	2.3
Vehicular exhaust	8.8	5.0	7.1	4.4	7.5	4.1	6.3	4.3
Farming smoke	0.7	0.0	0.3	0.0	0.4	0.4	0.6	0.4
Lead bromide	0.2	0.1	0.2	0.1	0.2	0.1	0.1	0.1
Contribution from primary particles (%)	23.4	33.3	25.5	36.8	19.8	34.1	25.2 %	40.6 %

貢獻,在仁武、大寮及美濃等地點呈現一致的低濃度貢獻,但在林園地區之汕尾國小採樣站,此距海岸甚近,海鹽在林園地區之 PM_{2.5-10} 較其他地點高,顯示海鹽在林園 PM_{2.5-10} 的貢獻較顯著。

表 2 為在各地點秋冬高污染季節大氣微粒原生性及衍生性水溶性鹽類及有機碳濃度。由四處地點所代表的高雄縣大氣微粒發現,衍生性物種濃度較原生性物種為多,且細粒中上述物種濃度

在原生硫酸鹽濃度的貢獻,地處石化工業區的林園及仁武地區有較高濃度,另外衍生硫酸銨貢獻尤其明顯。顯示兩地除產生原生性硫酸銨外,亦受到衍生性硫酸銨貢獻,代表交通污染排放的衍生硝酸鹽濃度在仁武、大寮及林園三大工業區的細微粒中貢獻顯著。

各地區四季之衍生有機碳的貢獻不若衍生 硫酸銨多,但較原生有機碳的貢獻多,且多在細 微粒。

由上述高雄縣五處採樣地點季節性的原生 性及衍生性物種對氣膠微粒的貢獻發現,衍生性 硫酸銨是高雄縣最主要的氣膠物種貢獻者,尤其 是美濃地區當地無重大污染源,但其衍生硫酸銨

Table 2. Contribution of water-soluble and carbon species in PM_{2.5} and PM_{2.5-10} in Kaohsiung County during high-polluted seasons, 2002.

		Pri.	Sec.	Pri.	Sec.	Pri.	Sec.
Location	size	OC	OC	$(NH_4)_2SO_4$	$(NH_4)_2SO_4$	Nitrates	Nitrates
Taliao	coarse	0.4	6.1	0.5	5.6	0.8	3.9
	fine	2.9	8.2	1.0	13.8	1.2	6.8
Jenwu	coarse	0.4	4.7	0.4	6.4	0.7	4.4
	fine	2.8	5.8	0.9	14.3	1.2	8.5
Linyuan	coarse	0.5	5.5	0.4	7.7	0.8	3.0
	fine	3.1	5.6	1.3	16.2	1.8	8.2
Meilon	coarse	0.3	3.3	0.2	4.3	0.2	3.2
	fine	2.4	5.1	0.7	14.7	0.8	4.4

高濃度,顯示因季節性的差異硫酸鹽的境外移入的貢獻極大。其次因地區不同和天氣的不同而氣 膠物種貢獻略有不同,但衍生硝酸鹽及衍生有機 碳在細微粒的貢獻顯著。

四、結論

本研究探討 2002 年秋冬高污染季節高雄縣境內林園、美濃、仁武和大寮地區之 PM₁₀ 及 PM_{2.5}

之水溶性懸浮微粒時空變異,在發生高污染事件日時,林園、美濃、仁武和大寮地區之 PM_{10} 微粒濃度均有明顯增加現象,其主要的離子與含碳成分有 0.5~1.0 倍的增加,其中以 SO_4 2 濃度最高,約在 $17~\mu g~m^{-3}$,其次為 NO_3 ~n OC 兩成份。

在大寮、仁武、林園地區懸浮微粒粒徑呈現雙峰分佈,大寮地區之微粒粒徑分布在 $0.32~\mu m$ 及 $5.6~\mu m$ 粒徑位置,呈現雙峰分布。林園地區之雙峰分布,出現在 $0.56~\mu m$ 及 $2.5~\mu m$ 粒徑位置。仁武地區之雙峰分布,分別在 $0.56~\mu m$ 及 $3.2~\mu m$ 處,尤其在 $0.56~\mu m$ 的細粒徑是主要濃度波峰。 美濃地區的微粒質量濃度分布平緩,在 $0.56~\mu m$ 處略呈分布波峰。依環保署在 $11~\mu$ 月 $27~\mu$ 28 日兩天發佈中南部地區稻田露天燃燒稻草獻上也比分不天發佈中南部地區稻田露天燃燒稻草獻上也比分類。 與點,與 $1.5~\mu$ 28 日內 經過,與 $1.5~\mu$ 28 日內 經過, $1.5~\mu$ 29 日內 經過, $1.5~\mu$ 20 日內 紀 20 日內 20 日內

此外,高雄地區氣膠酸鹼性可由 NR 值來判斷,在一般空氣品質狀態及高污染狀態下的微粒 NR 值均顯示此地區的氣膠是偏酸性,但在高污染事件日的氣膠比一般空氣品質狀態時更偏酸。

以地殼元素、海鹽、元素碳、農廢燻煙及溴化鉛等作為原生性懸浮微粒之物種濃度判斷,各地區之地殼元素及燃燒程序污染排放是原生物種對微粒質量濃度最的主要貢獻者,且在 PM_{2.5-10}的粗微粒原生性物種所佔質量濃度比例較 PM_{2.5}的粗微粒原生性物種所佔質量濃度比例較 PM_{2.5}的粗微粒原生性硫酸銨是高雄縣境主要的氣膠物種貢獻者,尤其美濃地區當一大污染源,但其衍生硫酸銨人。其次因地區不同氣膠物種貢獻略有不獻極大。其次因地區不同無關務極大。其次因地區不同無關務極大。其次因地區不同無關務極大。其次因地區不同無關務極大。其次因地區不同無關於在細微粒的貢獻極大。其次因地區不同無關於在細微粒的貢獻

五、參考文獻

- 1. 蔡瀛逸、鄭曼婷,"高污染狀態下大氣二次氣 膠組成之探討",第十五屆空氣污染控制技術 研討會,pp.711-718(1998)。
- 蔡祈政、陳瑞仁、許美芳、高茂仁、鍾進忠、 李家青,"高屏地區高污染狀態下 PM₁₀ 中衍生 性氣膠特性探討",第十八屆空氣污染控制技 術研討會 (2001)。
- 3. 陳賢焜、吳義林,"高雄縣懸浮微粒 PM₁₀ 與 PM_{2.5} 之成份與來源",高雄縣環保局研究計畫

期末報告 (1999)。

- 4. Lin, J.J, "Characterization of the major chemical species in PM_{2.5} in the Kaohsiung City, Taiwan," Atmos. Environ., Vol. 36, pp. 1911~ 1920 (2002).
- 5. Tsai, Y.I. and M.T. Cheng, "Visibility and Aerosol Chemical Compositions near the Coastal Area in Central Taiwan." Sci. Total Environ., Vol. 231, pp. 37-51 (1999).
- 6. Chen, W.C., C.S. Wang and C.C. Wei, "An Assessment of Source Contributions to Ambient Aerosol in Central Taiwan", J. Air Waste Manage. Assoc., Vol. 47, pp. 501-509 (1997).

